

خصائص نقل الإلكترون لكيوبت مقترب بترانزستور الإلكتروني المفرد: حساب أعداد إشغال النقاط الكمية والتيار في حالتي الإنزال والإنزال.

أ.م.د. جنان مجید المخ
م. باحث آيات طاهر أبراهيم

قسم الفيزياء / كلية التربية للعلوم الصرفة / جامعة البصرة

الخلاصة :

في هذا البحث تم تقديم معالجة نظرية لدراسة نقل الإلكترون لنظام مكون من جزئين أساسيين مقتربين هما مفتاح عنصر الحاسبة الكمية المتمثل بالكيوبت والكافش المتمثل بترانزستور الإلكتروني المفرد. الأنماذج الحاسبي تضمن اشتراق لمعادلات الحركة المعتمدة على الزمن لنظام قيد الدراسة. وجدنا علاقات خاصة بتغير أعداد الإشغال لنقطتي الكيوبت والنقطة الكمية التابعة لترانزستور الإلكتروني المفرد مع الزمن بالإضافة إلى التيار الذي يسري من القطب الأيسر. فحصلنا على الخصائص الديناميكية لنقل الإلكترون في النظام عند الإنزال والإنزال. استنتجنا إن تراكم الشحنة يزداد على نقطة الكيوبت الكمية البعيدة عن ترانزستور الإلكتروني المفرد كلما قلت فولتية الانحياز والعكس صحيح.

كلمات مفتاحية: الكيوبت، ترانزستور الإلكتروني المفرد، نقل الإلكتروني، الحوسبة الكمية.

1. المقدمة

Introduction

لبناء جهاز معالج للمعلومات الكمية (حاسبة كمية) يجب أن يكون لدينا أولاً نظام فيزيائي يمكن أن يخزن ويقدم المعلومات. النظام الأبسط الممكن هو نظام كمي بحالتين والذي نسميه عادة "Two level system" أو الكيوبت "Qubit". في الحوسبة الكمية يعد الكيوبت (الثنائية الكمية) وحدة المعلومات الكمية وهي نظير كمي للبت الكلاسيكي. ويكون الكيوبت عبارة عن نظام ميكانيكي كمي بحالتين مثلاً على ذلك إستقطاب فوتون مفرد، حيث تكون الحالتين أستقطاباً عمودياً وأستقطاباً أفقياً [1]. في النظام الكلاسيكي فإن البت تكون حالة محددة ولكن الميكانيكا الكميه بجمع خطى للحالتين عند نفس الزمن. بعض النظر عن الحقيقة الفيزيائية للبت فهي دائماً تفهم على أساس أنها إما حالة 0 وحالة 1. إن الحالتين التي يقاس بها الكيوبت تسمى الحالات الأساسية أو المتجهات الأساسية [2].

أماحالة الكيوبت التي هي جمع خطى من الحالات الأساسية فهي تكتب $|\Psi\rangle = \alpha|0\rangle + \beta|1\rangle$ ، حيث إن α, β هي سعات الأحتمالية ويمكن أن يكون كلاهما أعداد عقدية، كما إن $= |\alpha|^2 + |\beta|^2$. أي ان الكيوبت هو نظام مستويين كمي والتي يمكن الوصول اليها بالعديد من الطرق الممكنة. إذ إن المطلوب هو مستويين كميين متميزين يمكن التحكم بهما عملياً وبنفس الوقت يمكن عزلهما تماماً عن التفاعلات غير المرغوب بها [3]. هنالك خياران رئيسيان لقواعد الكيوبت وهي درجة الحرية البرمية في نقطة كمية مفردة ودرجة الحرية الأوليبيتالية (الشحنة Charge) في نقطة كمية مزدوجة DQD. إن النقطة الكمية المزدوجة توفر نظام بمستويين للطاقة بسيط وواقعي [4,5] . يمكن تعريف كيوبت الشحنة ذو الإلكترون المفرد في نقطة كمية مزدوجة فيها يشغل الإلكترون مفرد الحالة الأرضية لأحد النقطتين أو الأخرى [6]. هنالك نوعين للإقتران بين النقطتين الكميتين وهي : الإقتران الإلكترونيستاتيكالي الذي يمنع الإلكترونين ان يشغلان نفس النقطة الكمية والآخر هو النفقالكمي والذي يسمح للإلكترون أن يشغل نقطتين كميتين [7]. إن نفق الإلكترون المفرد تمت مناقشته بتوظيف طرق قياس التيار التقليدية [8]. إن لقياس التيار حساسية قليلة جداً إذ إن ملابين من الإلكترونات تكون مطلوبة لغرض إيجاد تيار له معنى علمي محدد. وبالعكس، فإن قياس كشف الشحنة في الكيوبت يوفر كشف مباشر لإشغال الإلكترون في النقاط الكمية ويوفر قياس حساس لنقل الإلكترون مفرد. إن ترانزستور الإلكترون المفرد ، الذي يتاثر النقل فيه بتفاعل كولوم في النقطة الكمية بعد آلة قياس كهربائية حساسة. وهنالك أداة قياس أخرى وهي نقطة الاتصال الكمية وهي تصنع من تركيب نقطة الاتصال شبه الموصلة والتي تكون حساسة لتوزيع الشحنة حول منطقة الاتصال [9]. آلات القياس هذه توفر كشف للشحنة في النقاط الكمية المقترنة الإلكترونستاتيكياً بآلية القياس الكهربائية. إن آلية القياس الكهربائية ترانزستور الإلكترون المفرد لها حساسية أفضل من آلية القياس الكهربائية نقاط الاتصال التي تظهر تغير كبير في إحتمالية النفاذية. ومن المعروف أن هناك الكثير من الدراسات درست وناقشت موضوع الكيوبت نظرياً ولا زال الموضوع بحاجة الى الكثير من الدراسات العملية. إن الهدف من دراستنا هو دراسة ديناميكية وخصائص نقل الإلكترون لنظام مكون من كيوبت مقترن بترانزستور الإلكترون المفرد. إذ تم بناء نموذج حسابي لإشتقاق معادلات الحركة المعتمدة على الزمن الخاصة بالنظام قيد الدراسة وذلك لإيجاد علاقة خاصة بتغير أعداد الإشغال لنقطتي الكيوبت وكذلك النقطة الكمية التابعة لترانزستور الإلكترون المفرد مع الزمن.. بالإضافة الى إيجاد صيغة للتيار الذي يسري من القطب الأيسر مروراً ب حاجز النفق الأيسر الى النقطة الكمية الخاصة

بترانزستور الإلكتروني المفرد. إذ تضمنت المعالجة كل المعاملات المؤثرة في هذه الدراسة والتي سيتم تسلیط الضوء عليها من خلال الفقرة التالية.

2. الأنماذج الحسابي Model Calculation

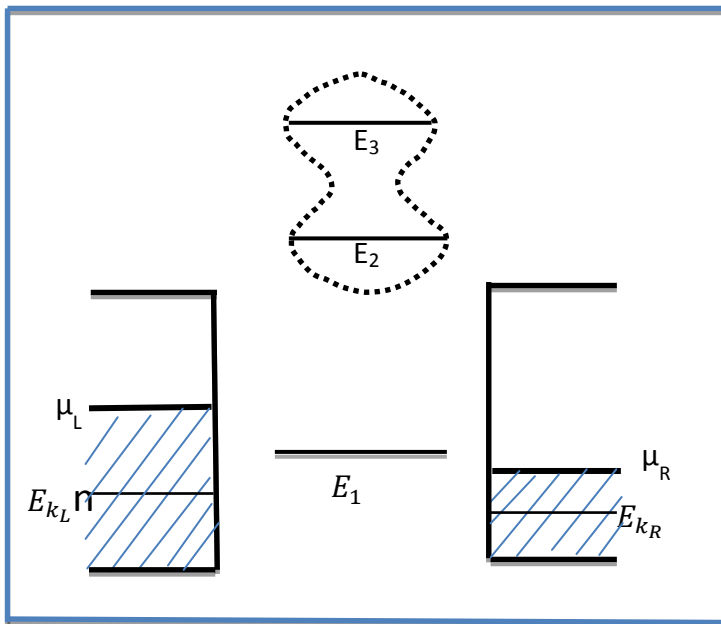
يمكن وصف النظام الذي ستم دراسته في هذا البحث والموضح بمخطط الطاقة بالشكل (1) بإستخدام الهايكوني المعتمد على الزمن الآني [10] :

$$H(t) = H_{SET}(t) + H_{Qubit}(t) + H^/(t) \quad (1)$$

الحد الاول من العلاقة (1) يمثل الهايكونين الذي يصف ترانزستور الإلكتروني المفرد ويعطى بما يلي:

$$\begin{aligned} H_{SET}(t) = & \sum_{k_L} E_{k_L} n_{k_L} + \sum_{k_R} E_{k_R} n_{k_R} + E_1 n_1(t) + \sum_{k_L} (V_{1k_L}(t) C_1^+(t) C_{k_L}(t) \\ & + h.c.) \\ & + \sum_{k_R} (V_{1k_R}(t) C_1^+(t) C_{k_R}(t) \\ & + h.c.) \end{aligned} \quad (2)$$

يمثل الرمز n_i عدد إشغال المستوى i إذ أن E_1, k_L, k_R, n_1 يمثل عدد إشغال النقطة الكمية، n_{k_L} يمثل عدد إشغال المستوى E_{k_L} في القطب الأيسر و n_{k_R} يمثل عدد إشغال المستوى E_{k_R} في القطب الأيمن (أنظر مخطط الطاقة المقابل للنظام قيد الدراسة في الشكل (1)). أما V_{1k_L} و V_{1k_R} فتمثل حواجز النفق بين النقطة الكمية 1 التابعة لترانزستور الإلكتروني المفرد والقطبين الأيمن والأيسر على التوالي.



الشكل (1) مخطط الطاقة المقابل للنظام (الكيوبت + ترانزستور الإلكتروني المفرد)
في حالة وجود فولتية أنياب.

أما الحد الثاني في العلاقة (1) فيمثل الهاamilتونين الخاص بالكيوبت والذي يمكن أن يكتب كالتالي :

$$H_{Qubit}(t) = E_2 n_2(t) + E_3 n_3(t) + (V_{23}(t) C_2^+ (t) C_3(t) + h.c.) \quad (3)$$

n_2 و n_3 تمثل أعداد إشغال النقاط الكمية 2 و 3 الخاصة بالكيوبت والمقابلة لمستويات الطاقة E_2 و E_3 على التوالي. في حين تمثل V_{23} حاجز النفق بين النقاط الكمية المكونة للكيوبت، بينما تمثل $h.c.$ المرافق العقدي. الحد الآخر في المعادلة (1) يمثل الهاamilتونين الخاص بحد التفاعل بين ترانزستور الإلكتروني المفرد والكيوبت ويعطى بما يلي :

$$H'(t) = U n_1(t) n_2(t) \quad (4)$$

يمثل U الإقتران الألكتروستاتيكبيين جزئي النظام ، وهو حد مهم لأنه يحدد قيمة التيار المار بين القطبين الأيمن والأيسر في ترانزستور الإلكترون المفرد بسبب تذبذبات الإلكترونبيين النقاط الكمية في الكيوبت. وبشكل عام يكتب عدد أشغالمستوي الطاقة n بالصيغة التالية[11] :

$$n_i(t) = C_i^+(t)C_i(t) \quad (5)$$

حيث إن $(C_i(t))C_i^+(t))$ هو مؤثر الهدم (الخلق) للإلكترونات الواقع داخل النقطة الكمية $i=1,2,3$ وكذلك على القطبين الأيمن والأيسر عندما يكون k_R, k_L على التوالي. علماً بأن الرموز k_R, k_L تمثل متجهات الموجة. وأن n_i و n_{k_L} و n_{k_R} تمثل أعداد الإشغال المقابلة للنقطة الكمية i والقطبين الأيسر والأيمن على التوالي. إن الهدف من إشتقاق معادلات الحركة الخاصة بالنظام قيد الدراسة هو أيجاد العلاقة الخاصة بتغير كل من $(t) n_1$ و $(t) n_2$ و $(t) n_3$ مع الزمن، ولتحقيق ذلك سنتم الاستفادة من النمو الزمني لعدد الإشغال n باستخدام تمثيل هايزنبرك [12]. وباستخدام الوحدات الذرية يمكن كتابة مشتقات مؤثري الهدم $C_1(t)$ والخلق $C_1^+(t)$ كالتالي :

$$\frac{dC_1(t)}{dt} = -i \left[E_1 C_1(t) + \sum_{k_L} V_{1k_L} C_{k_L}(t) + \sum_{k_R} V_{1k_R} C_{k_R}(t) + UC_1(t)n_2(t) \right] \quad (6)$$

$$\frac{dC_1^+(t)}{dt} = i \left[E_1 C_1^+(t) + \sum_{k_L} V_{1k_L}^* C_{k_L}^+(t) + \sum_{k_R} V_{1k_R}^* C_{k_R}^+(t) + UC_1^+(t)n_2(t) \right] \quad (7)$$

وبالاستفادة من العلاقة (5) وبأخذ المعدل الميكانيكي – الكمي لطيفي العلاقة الناتجة نحصل على :

$$\frac{d}{dt} \langle n_1(t) \rangle = 2Im \left[\sum_{k_L} V_{1k_L} \langle C_1^+(t) C_{k_L}(t) \rangle + \sum_{k_R} V_{1k_R} \langle C_1^+(t) C_{k_R}(t) \rangle \right] \quad (8)$$

يمكن أيضاً تبسيط العلاقة (8) وذلك من خلال ايجاد صيغ خاصة لـ $\frac{dC_{k_L}(t)}{dt}$ و $\frac{dC_{k_R}(t)}{dt}$ وكالاتي :

$$\begin{aligned} & \frac{dC_{k_L}(t)}{dt} \\ &= -i [E_{k_L} C_{k_L}(t) \\ &+ V_{1k_L}^* C_1(t)] \end{aligned} \quad (9)$$

وبحل المعادلة (9) حلًّا تحليلياً نحصل على ما يلي :

$$\begin{aligned} C_{k_L}(t) &= C_{k_L}(t_0) e^{-i E_{k_L}(t-t_0)} \\ &- i \int_{t_0}^t dt' / V_{1k_L}^* e^{-i E_{k_L}(t-t')} C_1(t') \end{aligned} \quad (10)$$

علماً بأن t_0 يمثل الزمن الابتدائي. وباجراء الخطوات ذاتها للمؤثر $C_{k_R}(t)$ نحصل على الآتي :

$$\begin{aligned} & C_{k_R}(t) \\ &= e^{-i E_{k_L}(t-t_0)} \\ &- i \int_{t_0}^t dt' / V_{1k_R}^* e^{-i E_{k_R}(t-t')} C_1(t') \end{aligned} \quad (11)$$

وبالاستناده من العلاقات التالية [11]:

$$\begin{aligned} \Gamma_\alpha(E) &= 2\pi \sum_{k_\alpha} V_{1k_\alpha} V_{1k_\alpha}^* \delta(E - E_{k_\alpha}) \quad , \quad \alpha \\ &= L, R \end{aligned} \quad (12)$$

إذ إن $\Gamma_\alpha(E)$ يمثل معدل النفق بين النقطة الكمية الخاصة بترانزستور الإلكترون المفرد والقطب α وباستخدام التعريفات الآتية [13]:

$$V_{1k_\alpha} = v_{k_\alpha} V_{1\alpha} \quad , \quad C_{k_\alpha}(t_0) \\ = v_{k_\alpha} \tilde{C}_{k_\alpha}(t_0) \quad (13)$$

وللسهولة سوف لن نكتب العلامة \sim و بالإستفادة من تعريف كثافة الحالات [11]:

$$\rho_L(E) \\ = \sum_{k_L} |v_{k_L}|^2 \delta(E - E_{k_L}) \quad (14)$$

وبالاستخدام تقرير الحزمة العريضة [11] فإن $\Gamma_\alpha(E)$ تصبح غير معتمدة على الزمن. وعليه يمكن أن نكتب مجموع معدل النفق للقطبين بالعلاقة التالية :

$$\Gamma = \Gamma_L + \Gamma_R \quad , \quad \rho_\alpha(E) = \rho_\alpha \\ = \frac{1}{4\beta} \quad (15)$$

إذ أن β عامل مرتبط بعرض الحزمة المساوية إلى 4β . إذن المعادلة (8) تصبح :

$$\frac{d}{dt} \langle n_1(t) \rangle = 2 \operatorname{Im} \left[I_1(t) + I_2(t) - i \frac{\Gamma}{2} \langle n_1 \rangle \right] \quad (16)$$

علمً بأن $I_1(t), I_2(t)$ تعطى بالعلاقات التالية :

$$I_1(t) \\ = \frac{V_{1L}}{4\beta} \int_L e^{-iE_{k_L}(t-t_0)} \langle C_1^+(t) C_{k_L}(t_0) \rangle dE_{k_L} \quad (17)$$

$$I_2(t) \\ = \frac{V_{1R}}{4\beta} \int_R e^{-iE_{k_R}(t-t_0)} \langle C_1^+(t) C_{k_R}(t_0) \rangle dE_{k_R} \quad (18)$$

وبالاستخدام الخطوات ذاتها نحصل على :

$$\frac{d}{dt} \langle n_2(t) \rangle = 2 \operatorname{Im} \{ V \langle C_2^+(t) C_3(t) \rangle \} \quad (19)$$

$$\frac{d}{dt} \langle n_3(t) \rangle \\ = -2 \operatorname{Im} \{ V \langle C_2^+(t) C_3(t) \rangle \} \quad (20)$$

ولغرض أيجاد أعداد الإشغال (t) n_1 و n_2 و n_3 لا بد من أيجاد معادلات الحركة الخاصة بدوال التبادل correlation functions. ونقصد بدوال التبادل الدالتين الواردة في العلاقة (16) وهي $\langle C_1^+(t)C_{k_R}(t_0) \rangle$ و $\langle C_1^+(t)C_{k_L}(t_0) \rangle$ وفي العلاقةين (19) و (20) وهي $\langle C_2^+(t)C_3(t) \rangle$. وبالاستفادة من العلاقة (9) وكذلك العلاقة (12) حصلنا على معادلة الحركة الخاصة بدانة التبادل $\langle C_1^+(t)C_{k_L'}(t_0) \rangle$ علمًا بأن k_L' هي احدى قيم k_L . وبالاستفادة من العلاقة (5) يمكن أن نكتب علاقة التبادل بالصيغة التالية:

$$\begin{aligned} & C_{k_L}(t_0)C_{k_L'}(t_0) \\ &= n_{k_L}(t_0)\delta_{k_L k_L'} \end{aligned} \quad (21)$$

وبذلك تمكنا من الحصول على المعادلة التالية :

$$\begin{aligned} \frac{d}{dt} \langle C_1^+(t)C_{k_L'}(t_0) \rangle &= \left(iE_1 - \frac{\Gamma}{2} \right) \langle C_1^+(t)C_{k_L'}(t_0) \rangle + iV_{1k_L'}^* n_{k_L'}(t_0) e^{iE_{k_L'}(t-t_0)} \\ &+ iU \langle C_1^+(t)n_2(t) C_{k_L'}(t_0) \rangle \end{aligned} \quad (22)$$

وبأتبع الخطوات نفسها حصلنا كذلك على علاقة تفاضلية خاصة بـ $\langle C_1^+(t)C_{k_R}(t_0) \rangle$. علمًا بأن $n_{K_\alpha}(t_0)$ تمثل دالة توزيع فيرمي للقطب α :

$$\begin{aligned} & n_{k_\alpha}(t_0) \\ &= f(E_{k_\alpha}, T) = \frac{1}{1 + \exp\left(\frac{E_{k_\alpha} - \mu_\alpha}{k_B T}\right)} \end{aligned} \quad (23)$$

يمثل μ_α الجهد الكيميائي chemical potential فيما يمثل T درجة الحرارة و ثابت بولتزمان، علمًا بأن النظام في حالة إنزان حراري. وبالاستفادة من العلاقات التفاضلية الخاصة بـ

$$\text{و } \frac{dC_2^+(t)}{dt} \text{ يمكن أن نحصل على العلاقة التفاضلية الخاصة بدانة التبادل } \frac{dC_3(t)}{dt} \text{ و } \langle C_2^+(t)C_3(t)n_1 \rangle \text{ والتي يمكن أن نكتب كالتالي :}$$

$$\begin{aligned}
 & \frac{d}{dt} \langle C_2^+(t) C_3(t) n_1 \rangle \\
 &= \langle C_2^+(t) C_3(t) \rangle \frac{d\langle n_1 \rangle}{dt} \\
 &+ \frac{d\langle C_2^+(t) C_3(t) \rangle}{dt} \langle n_1 \rangle \quad (24)
 \end{aligned}$$

إذ أن :

$$\begin{aligned}
 iU C_2^+(t) C_3(t) C_1^+(t) \{1 - C_1^+(t) C_1(t)\} C_1(t) &= iU C_2^+(t) C_3(t) n_1 \\
 \text{وعليه يمكن أن نكتب المعادلة (29) كالتالي :}
 \end{aligned}$$

$$\begin{aligned}
 \frac{d}{dt} \langle C_2^+(t) C_3(t) n_1 \rangle &= [iE_2 - iE_3 + iU - \Gamma] \langle C_2^+(t) C_3(t) n_1 \rangle \\
 &+ iV^* [\langle n_3 n_1 \rangle - \langle n_2 n_1 \rangle] \\
 &- i(I_3 + I_4 + I_5 + I_6) \quad (25)
 \end{aligned}$$

أيضاً تم أشتقاق المعادلات التفاضلية الخاصة بـ $\langle n_3 n_1 \rangle$ والتي تأخذ الصيغة التالية :

$$\frac{d}{dt} \langle n_3 n_1 \rangle = -\Gamma \langle n_3 n_1 \rangle + 2Im\{I_7 + I_8 - V \langle C_2^+(t) C_3(t) n_1 \rangle\} \quad (26)$$

$$\frac{d}{dt} \langle n_2 n_1 \rangle = -\Gamma \langle n_2 n_1 \rangle + 2Im\{I_9 + I_{10} + V \langle C_2^+(t) C_3(t) n_1 \rangle\} \quad (27)$$

في حين تمثل I_i (لقيم $i=3-6$) التكاملات الآتية :

$$I_3 = \frac{V_{1L}}{4\beta} \int_L e^{-iE_{k_L}(t-t_0)} \langle C_1^+(t) C_2^+(t) C_3(t) C_{k_L}(t_0) \rangle dE_{k_L}$$

$$I_4 = \frac{V_{1L}}{4\beta} \int_L e^{+iE_{k_L}(t-t_0)} \langle C_1^+(t) C_2(t) C_3^+(t) C_{k_L}(t_0) \rangle dE_{k_L}$$

$$I_5 = \frac{V_{1R}}{4\beta} \int_R e^{-iE_{k_R}(t-t_0)} \langle C_1^+(t) C_2^+(t) C_3(t) C_{k_R}(t_0) \rangle dE_{k_R}$$

$$I_6 = \frac{V_{1R}}{4\beta} \int_R e^{+iE_{k_R}(t-t_0)} \langle C_1^+(t) C_2(t) C_3^+(t) C_{k_R}(t_0) \rangle dE_{k_R}$$

I_7

$$= \frac{V_{1L}}{4\beta} \int_L e^{-iE_{k_L}(t-t_0)} \langle C_1^+(t) n_3 C_{k_L}(t_0) \rangle dE_{k_L} \quad (28)$$

$$I_8 = \frac{V_{1R}}{4\beta} \int_R e^{-iE_{k_R}(t-t_0)} \langle C_1^+(t) n_3 C_{k_R}(t_0) \rangle dE_{k_R}$$

$$I_9 = \frac{V_{1L}}{4\beta} \int_L e^{-iE_{k_L}(t-t_0)} \langle C_1^+(t) n_2 C_{k_L}(t_0) \rangle dE_{k_L}$$

$$I_{10} = \frac{V_{1R}}{4\beta} \int_R e^{-iE_R(t-t_0)} \langle C_1^+(t) n_2 C_{k_R}(t_0) \rangle dE_{k_R}$$

ولإيجاد المعادلة التفاضلية الخاصة بـ $\langle C_1^+(t) n_2 C_{k_L'}(t_0) \rangle$ يمكن أن نكتب :

$$\begin{aligned} \frac{d}{dt} C_1^+(t) n_2 C_{k_L'}(t_0) \\ = \frac{dC_1^+(t)}{dt} n_2 C_{k_L'}(t_0) \\ + C_1^+(t) \frac{dn_2}{dt} C_{k_L'}(t_0) \end{aligned} \quad (29)$$

وبالاستفادة من كل العلاقات السابقة وكذلك وبالإستفادة من العلاقة التالية [12] :

$$[C_i^+(t), C_j(t)] = \delta_{ij}$$

نحصل على :

$$\begin{aligned} \frac{d}{dt} \langle C_1^+(t) n_2 C_{k_L'}(t_0) \rangle &= \left[iE + iU - \frac{\Gamma}{2} \right] \langle C_1^+(t) n_2 C_{k_L'}(t_0) \rangle \\ &+ iV_{1k_L'}^* e^{iE_{k_L'}(t-t_0)} \langle n_2 \rangle \langle n_{k_L'}(t_0) \rangle \\ &- iV \langle C_1^+(t) C_2^+(t) C_3(t) C_{k_L'}(t_0) \rangle + iV^* \langle C_1^+(t) C_2(t) C_3^+(t) C_{k_L'}(t_0) \rangle \end{aligned}$$

(30)

وبنفس الطريقة نحصل على علاقة مماثلة تخص القطب الأيمن . وبإتباع الخطوات ذاتها وبالاستفادة من العلاقة التالية :

$$iUC_1^+(t)C_2^+(t)C_2(t)C_3^+(t)C_3(t)C_{k_L'}(t_0) = \\ - iUC_1^+(t)C_2^+(t)C_3^+(t)C_2(t)C_3(t)C_{k_L'}(t_0) = 0$$

حصلنا على ما يلي :

$$\frac{d}{dt} \langle C_1^+(t)n_3 C_{k_L'}(t_0) \rangle = \left(iE_1 - \frac{\Gamma}{2} \right) \langle C_1^+(t)n_3 C_{k_L'}(t_0) \rangle \\ + iV_{1k_L'}^* e^{iE_{k_L'}(t-t_0)} \langle n_3 \rangle \langle n_{k_L'}(t_0) \rangle \\ + iV \langle C_1^+(t)C_2^+(t)C_3(t)C_{k_L'}(t_0) \rangle \\ + iV^* \langle C_1^+(t)C_2(t)C_3^+(t)C_{k_L'}(t_0) \rangle$$

(31)

وكذلك حصلنا على علاقه مماثله للقطب الأيمن .

ولإيجاد العلاقة التقاضلية الخاصة بـ $\langle C_1^+(t)C_2^+(t)C_3(t)C_{k_L'}(t_0) \rangle$ تم إتباع الخطوات ذاتها

وبالاستفادة من صيغ $\frac{dC_1^+(t)}{dt}$ و $\frac{dC_3(t)}{dt}$ و $\frac{dC_2^+(t)}{dt}$ وكذلك بالتعويض عن و

وبإتباع الأسلوب نفسه حصلنا على ما يلي :

$$\frac{d}{dt} \langle C_1^+(t)C_2^+(t)C_3(t)C_{k_L'}(t_0) \rangle = iV_{1k_L'}^* e^{iE_{k_L'}(t-t_0)} \langle C_2^+(t)C_3(t) \rangle \langle n_{k_L'}(t_0) \rangle \\ + i \left(E_1 + E_2 - E_3 + U + i \frac{\Gamma}{2} \right) \langle C_1^+(t)C_2^+(t)C_3(t)C_{k_L'}(t_0) \rangle \\ + iV^* \langle C_1^+(t)n_3 C_{k_L'}(t_0) \rangle \\ - iV^* \langle C_1^+(t)n_2 C_{k_L'}(t_0) \rangle$$

إذ إن:

$$UC_1^+(t)C_2^+(t)C_2(t)C_2^+(t)C_3(t)C_{k_L'}(t_0)$$

$$= UC_1^+(t)C_2^+(t)C_3(t)C_{k_L'}(t_0)$$

وبنفس الطريقة نحصل على علاقة تخص القطب الأيمن.

وبنفس الطريقة وجدنا العلاقات التي تخص دوال التبادل $\langle C_1^+(t)C_2(t)C_3^+(t)C_{k_L'}(t_0) \rangle$ وكانت

كالآتي :

$$\frac{d}{dt} \langle C_1^+(t)C_2(t)C_3^+(t)C_{k_L'}(t_0) \rangle = -iV_{1k_L'}^* e^{iE_{k_L'}(t-t_0)} \langle C_2(t)C_3^+(t) \rangle^* \langle n_{k_L'}(t_0) \rangle$$

$$+ i \left(E_1 + E_2 + E_3 + i \frac{\Gamma}{2} \right) \langle C_1^+(t)C_2(t)C_3^+(t)C_{k_L'}(t_0) \rangle$$

$$+ iV \langle C_1^+(t)n_3 C_{k_L'}(t_0) \rangle - iV \langle C_1^+(t)n_2 C_{k_L'}(t_0) \rangle \quad (33)$$

وبنفس الطريقة حصلنا على علاقة مماثلة تخص $\langle C_1^+(t)C_2(t)C_3^+(t)C_{k_R'}(t_0) \rangle$

وأخيراً لا بد أن نحدد دوال التبادل التي تم أشتقاق معادلات الحركة لها (والتي تحتاجها لأيجاد أعداد الأشغال على النقاط الكمية الثلاثة) وهي $\langle C_1^+(t)C_{k_\infty}(t_0) \rangle$ و $\langle C_2^+(t)C_3(t) \rangle$ و

ذلك $\langle C_1^+(t)n_2 C_{k_\infty}(t_0) \rangle$ و $\langle n_1 n_2 \rangle$ و $\langle n_3 n_1 \rangle$ و $\langle n_2 n_1 \rangle$ و $\langle C_1^+(t)C_2^+(t)C_3(t)n_1 \rangle$

و $\langle C_1^+(t)C_2^+(t)C_3(t)C_{k_\infty}(t_0) \rangle$ و $\langle C_1^+(t)n_3 C_{k_\infty}(t_0) \rangle$

و $\langle C_1^+(t)C_2^+(t)C_3^+(t)C_{k_\infty}(t_0) \rangle$ ولقيم R, L, α علماً بأن عدد دوال التبادل المطلوبة قد

يزداد أعتماداً على الطريق الذي يسلكه الباحث في المعالجة.

وأعتماداً على العلاقات التفاضلية التي حصلنا عليها يمكن أن نكتب التيار الذي يسري من القطب الأيسر مروراً بحاجز النفق الأيسر إلى النقطة الكمية الخاصة بترانزستور الإلكترون المفرد كالآتي:

$$I_L(t) = 2Im \left[\sum_{k_L} V_{1k_L}(t) \langle C_1^+(t) C_{k_L}(t_0) \rangle^* e^{-iE_{k_L}(t-t_0)} - i \sum_{k_L} V_{1k_L} \int_{t_0}^t V_{1k_L}^* \langle C_1^+(t) C_1(t') \rangle e^{-iE_{k_L}(t-t')} dt' \right] \quad (34)$$

وبالاستفادة من التعريفات (12) و(13) و(14) و(15) نحصل على :

$$I_L(t) = 2Im \left[I_1(t) - i \frac{\Gamma}{2} \langle n_1(t) \rangle \right] \quad (35)$$

إذ $\langle n_1(t) \rangle$ يمكن أيجادها من حل المعادلة (16) وأن I_1 يعطى بالعلاقة (17).

3. الحسابات والنتائج

لدراسة ديناميكية نقل الإلكترون في نظام كيوبت مقترن مع ترانزستور الإلكترون المفرد تم حل معادلات الحركة المترابطة لدوال التبادل correlation function عددياً باستخدام طريقة رانج كوتا من الدرجة السادسة، إذ كانت نسبة الخطأ في حسابات النتائج الذي تم أنجازه بحدود 10^{-9} - 10^{-8} وكان مقدار الزيادة في الزمن هو $\Delta t = 10^{-2} a.u.$. يحسب البرنامج قيم أعداد الإشغال $n_1(t)$ و $n_2(t)$ و $n_3(t)$ وكذلك تيار النفق المار من القطب الأيسر إلى النقطة الكمية 1 الخاصة بترانزستور الإلكترون المفرد كدالة لفولتية الأنبياز المسلطة على النظام وكل المعاملات آنفة الذكر. ولغرض تسلیط الضوء على ديناميكية نقل الإلكترون في النظام كان لابد من فحص كل تفاعلات الإقتران التي تدخل في معالجتنا وهي:

1. تفاعل إقتران النقطة الكمية 1 الخاصة بترانزستور الإلكترون المفرد مع القطبين الأيمن

والأيسر (V_{1a}).

2. التفاعل المباشر بين نقطتي الكيوبت V_{23} .

3. الأقتران الألكتروستاتيكي U بين الكيوبت وترانزستور الإلكترون المفرد.

كذلك تم فحص تأثير تغير درجة حرارة الأقطاب وتسلیط فولتية أنبياز وفولتية بوابة على الحسابات الخاصة بأعداد الإشغال والتيار.

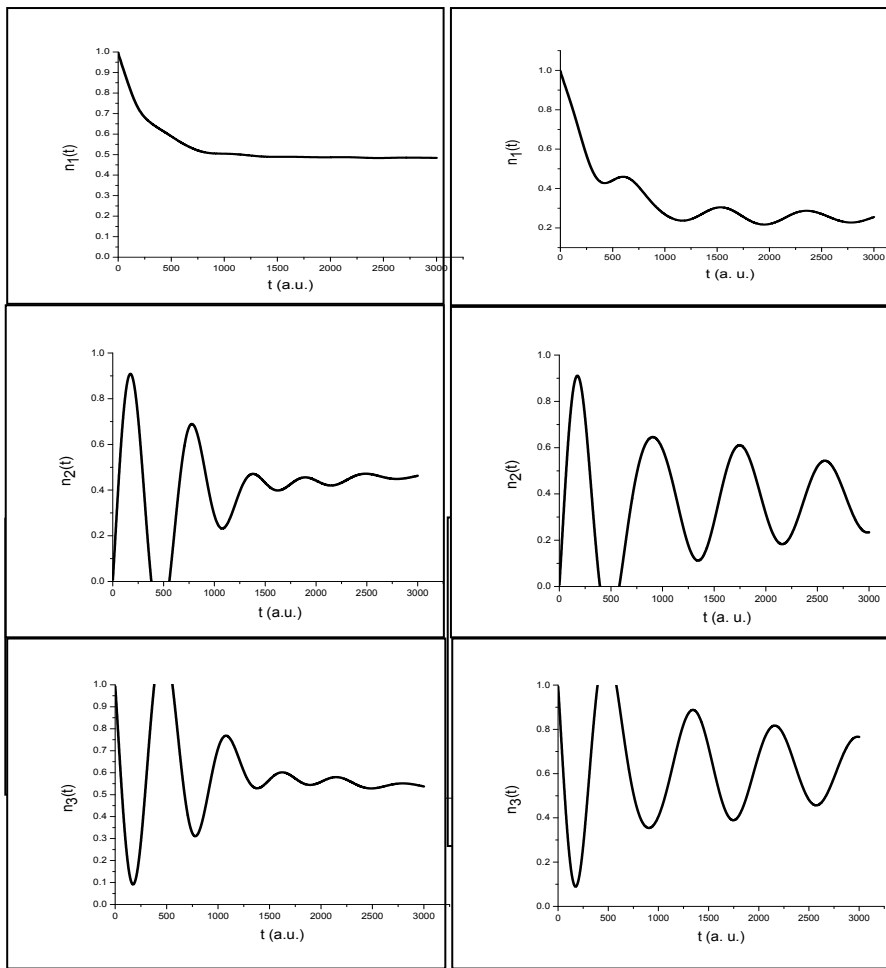
وأخيراً أن أنجاز الحسابات كانت لابد أن تتم عند قيمة أبتدائية للأعداد الإشغال وكانت مساوية إلى

$$n_1(t_0) = 1$$

$n_2(t_0) = 0$ ، $n_3(t_0) = 1$ ، $t_0(= 0)$ يمثل الزمن الأبتدائي. أما موقع مستويات الطاقة المؤثرة للنقطة الكمية فكانت عند $E_1 = E_2 = E_3 = 0$.

تم حساب أعداد أشغال النقطة الكمية الخاصة بالكيوبت ونقطة ترانزistor الإلكتروني المفرد كدالة للزمن عند حالة الإلتزان ولقيمة فولتية انحصار مسلطة على الأقطاب مساوية إلى $eV_{bias} = 2\text{ eV}$ ، $1.5\text{ , }1\text{ , }0.5$ وكذلك في حالة الإلتزان ($0 = eV_{bias}$) وذلك لغرض المقارنة بين الحالتين. هذه النتائج سيتم استعراضها في الشكل (2) لحالة الإلتزان وفي الأشكال (3,4,5,6) لقيمة فولتية الإنحصار المذكورة أعلاه وعلى التوالي. هذه النتائج حسبت عندما يكون اقتران النقطة الكمية 1 مع الأقطاب ($V_{1\alpha}$) مساوياً إلى 0.3 eV والاقتران بين نقطتي الكيوبت مساوياً إلى 0.1 في حين الاقتران الإلكترونيستاتيكي بين جزئي الجهاز كان مساوياً إلى 0.25 eV . يتضح من الشكل (2)، الخاص بحالة الإلتزان ، تذبذب المنحنيات الخاصة بأعداد الإشغال والتيار مع الزمن وبسعة كبيرة نسبياً بحيث يتلاشى التيار إلى الصفر بعد زمن طويل نسبياً. عندما تكون فولتية الإنحصار مساوية إلى 0.5 eV فإن سعات التذبذب تقل مع الزمن بحيث تكون قيمة ($n_1(t) > 10^3 a.u.$) عندما $n_1(t) > 10^3 a.u.$ مساوية إلى 0.5 تقريباً وتكون قيمة ($n_2(t) > 10^3 a.u.$) أقل من 0.5 و تكون قيمة ($n_3(t) > 10^3 a.u.$) أكبر من 0.5 . بمعنى أن الشحنة الإلكترونية تتبع على النقطة الكمية البعيدة من الكيوبت (أنظر الشكل (3)). هذه الملاحظات تصح أيضاً لكل قيمة فولتية الإنحصار وكما يتضح من الأشكال (4,5,6).

ولغرض التأكيد من هذا المظاهر الفيزيائي تم استعراض قيمة ($n_i(\infty)$) لقيمة $i=1, 2, 3$ كدالة لفولتية الإنحصار في الجدول (1). إذ يتضح من الجدول أنه مع زيادة فولتية الإنحصار تقل قيمة ($n_3(\infty)$) وتزداد قيمة ($n_1(\infty)$) و($n_2(\infty)$) ولكن تبقى قيمة ($n_3(\infty)$) أكبر لكل قيمة من قيمة فولتية الإنحصار. بمعنى أن توضع الشحنة الإلكترونية يزداد أكثر على النقطة الكمية 3 بعيدة عن ترانزistor الإلكتروني المفرد كلما قلت فولتية الإنحصار في حين يزداد توضع الشحنة الإلكترونية أكثر على النقطة الكمية 2 القريبة إلى ترانزistor الإلكتروني المفرد كلما زادت فولتية الإنحصار.



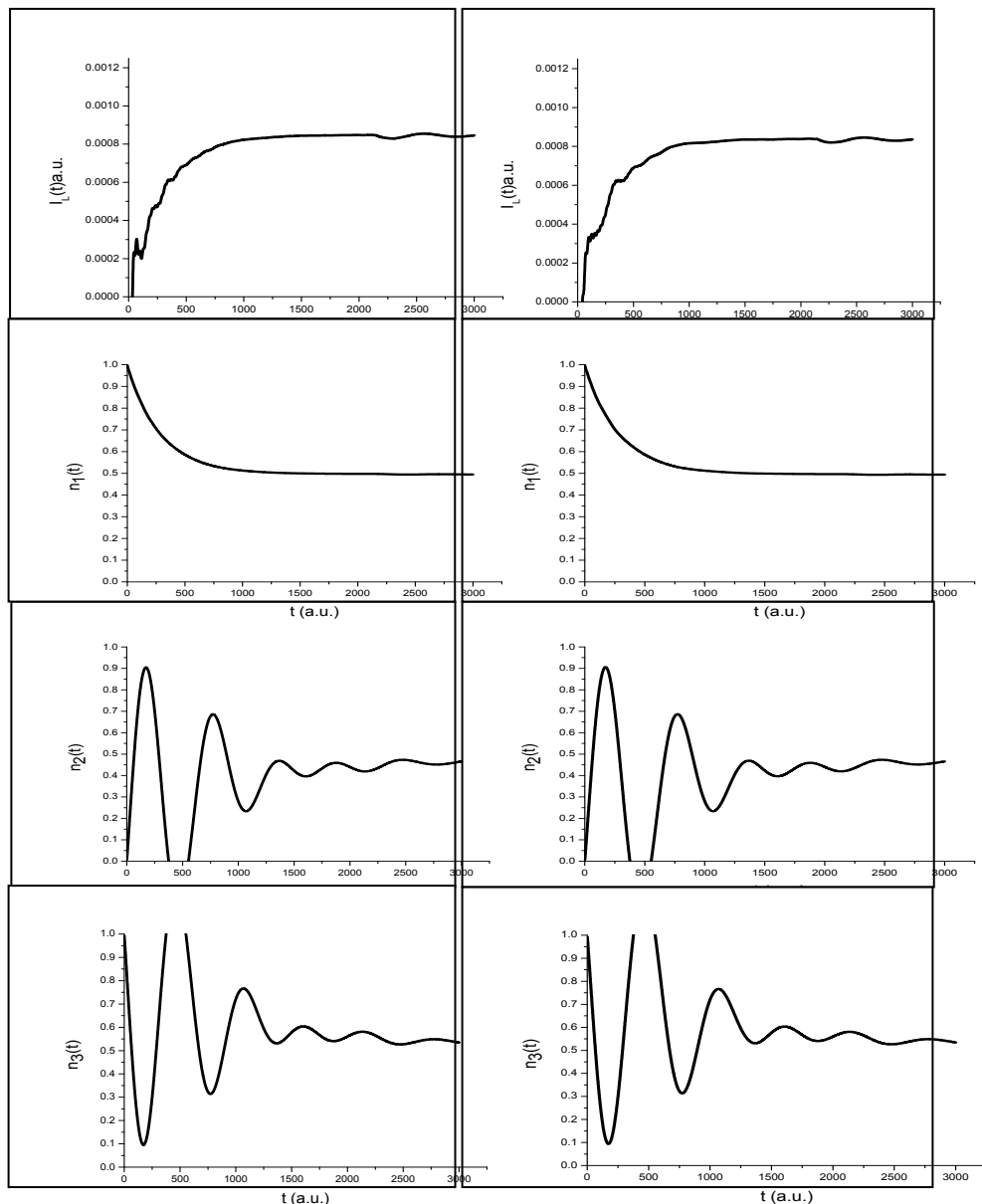
الشكل(3): كما في الشكل (2) لكن
للمعاملات :

(a) التيار المار من القطب الأيسر إلى

الشكل (2)

$U = 0.25 \text{ eV}$, $V_{23} = 0.1 \text{ eV}$ النقطة الخاصة بترانزستور الإلكترون المفرد كدالة للزمن.

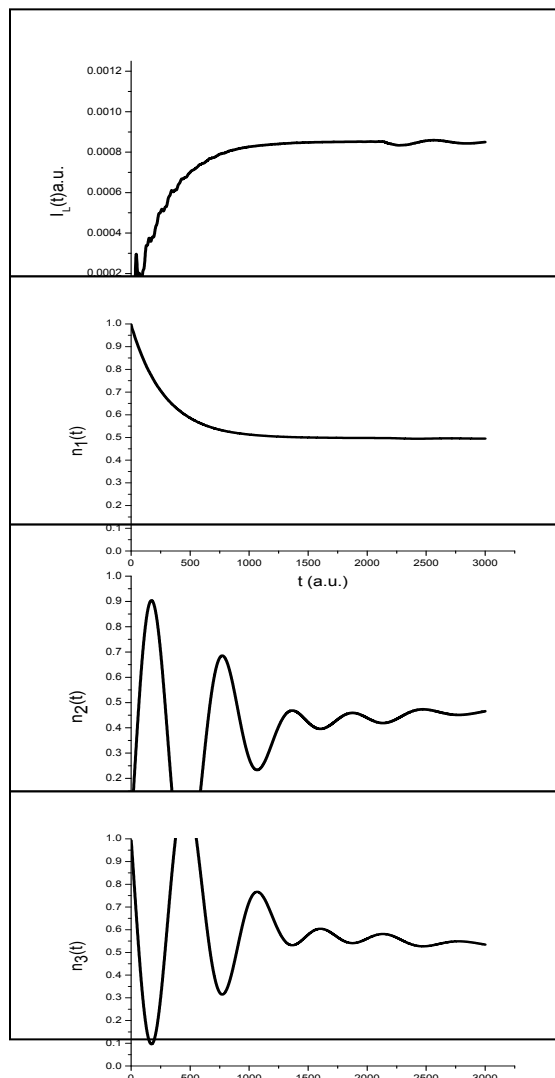
(b) عدد أشغال النقطة الكمية التابعة
لترانزستور الإلكترون



الشكل (4): (a) التيار المار من القطب الأيسر الى الشكل (5) كما في الشكل (4) لكن للمعاملات:

النقطة الخاصة بترانزستورالإلكترون المفرد كدالة
للزمن.

(b) عدد أشغال النقطة الكمية التابعة
لترانزستورالإلكترون



الشكل (6): (a) التيار المار (a.u.) من القطب الأيسر إلى النقطة الخاصة بترانزستور الإلكترون المفرد كدالة للزمن. (b) عدد أشغال النقطة الكمية التابعة لترانزستور الإلكترون المفرد كدالة للزمن. (c) عدد أشغال النقطة الكمية في الكيوبت القريبة من ترانزستور الإلكترون المفرد كدالة للزمن.

الجدول(1) يستعرض قيم $n_i(\infty)$ لقيم $i=1,2,3$ كدالة لفولتية الإنحياز.

$eV_{bias}(eV)$	$n_1(\infty)$	$n_2(\infty)$	$n_3(\infty)$	$I_L(\infty)a.u.$
0.1	0.36633	0.27905	0.72095	0.47415×10^{-3}
0.2	0.41720	0.34943	0.65057	0.61095×10^{-3}
0.3	0.44344	0.39425	0.60575	0.69581×10^{-3}
0.5	0.48406	0.46964	0.53736	0.79680×10^{-3}
1.0	0.49359	0.46569	0.53431	0.83607×10^{-3}
1.5	0.49467	0.46560	0.53440	0.84553×10^{-3}
2	0.49502	0.46556	0.53444	0.85005×10^{-3}

References

- [1] Benjamin Leuschel , 22.07. "Charge Qubits", (2014).
- [2] O. E. Dial, M. D. Shulman, S. P. Harvey, H. Bluhm, V. Umansky, and A. Yacoby , Phys. Rev. Lett. 110. 146804, (2013).
- [3] M.D. Shulman, S.P. Harvey, J.M. Nichol, S.D. Bartlett, A.C. , Doherty, V. Umansky, and A. Yacoby, nature comms.(2014).
- [4] A. Barenco, D. Deutsch, A. Ekert, and R. Jozsa, Phys. Rev. Lett. 74, 4083 (1995).
- [5] Sebastian Mehl, Peter Grunberg, ForschungszentrumJülich, (2015).
- [6] T. Hayashi, T. Fujisawa, H. D. Cheong, Y. H. Jeong, and Y. Hirayama, Phys. Rev. Lett. 91, 226804 (2003).
- [7] T. H. Oosterkamp, T. Fujisawa, W. G. Van der Wiel, K. Ishibashi, R. V. Hijman, S. Tarucha, and L. P. Kouwenhoven, Nature (London) 395, 873 (1998).
- [8] Toshimasa Fujisawa, Toshiaki Hayashi, and Satoshi Sasaki, Rep. Prog.Phys. 69 759, (2006).
- [9] JunYanLuo, HuJun Jiao, Xiao-Li Lang, BiTaoXiong, and Xiao-Ling He, (2013).
- [10] R. Taranko, P. Parafiniuk, Physica E 40 2765 (2008).
- [11] Jenan M. Al- Mukh, "Charge Transfer Between Atom (Ion) and Metal Surfaces", Thesis, University of Basrah, (1997).
- [12] Mustapha A. Setar A. Jebar, "The Charge Exchange Process in the Scattering of Atom-Adatom/Surface in the Presence of Electron-Photon Coupling", Thesis, University of Basrah, (2009).
- [13] Thikra S. Dh. Al-Naser, "Charge Exchange Process in the Scattering of Ions off Adsorbe-Covered Surface", Thesis, University of Basrah, (2005).

Abstract

In this study, theoretical treatment is presented to study the electron transport for a system consists of two principle coupled parts, these are the key element of quantum computer which is represented by the qubit and the detector which is represented by the single electron transistor. Model calculation that includes the derivatives of the time dependent equations of motion for the system under consideration is presented. We find particular relations for the time variation for of the occupation numbers of the qubit quantum dots and the single electron transistor dot as well as the current that flows from the left lead. We investigated the electron transport dynamical properties in the system at equilibrium and nonequilibrium. We conclude that the charge accumulation increases on the far-removed qubit quantum dot from the single electron transistor as the bias voltage decreases and vice versa.